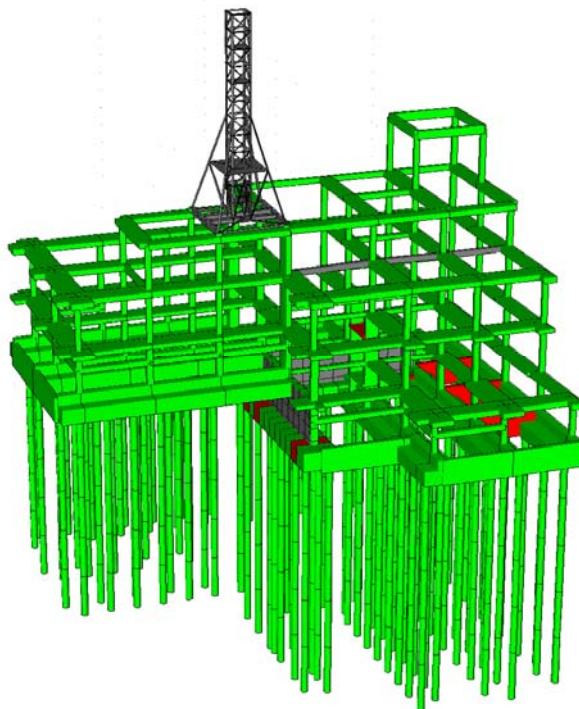
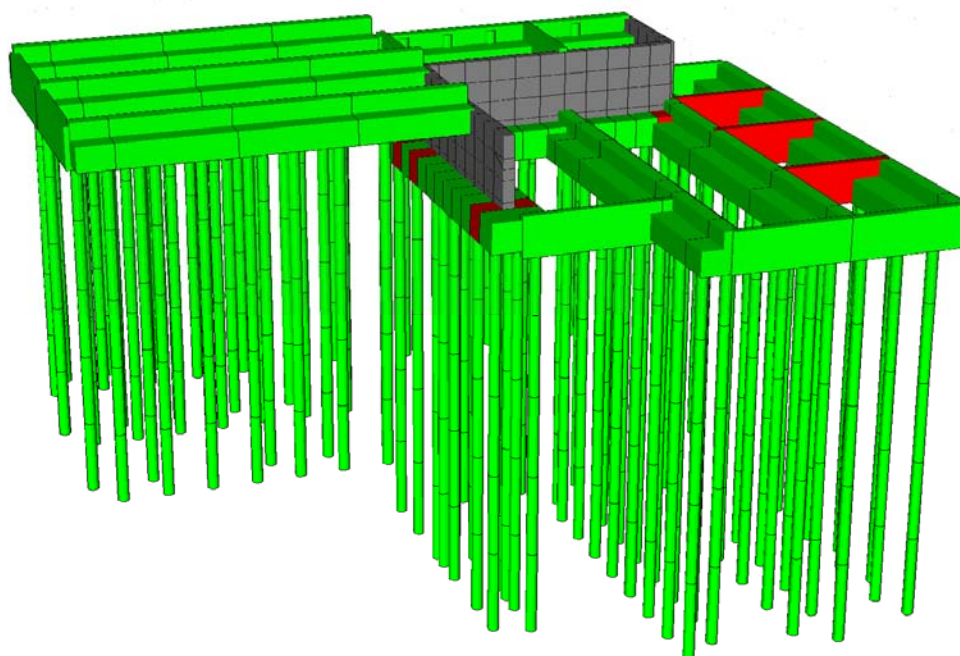


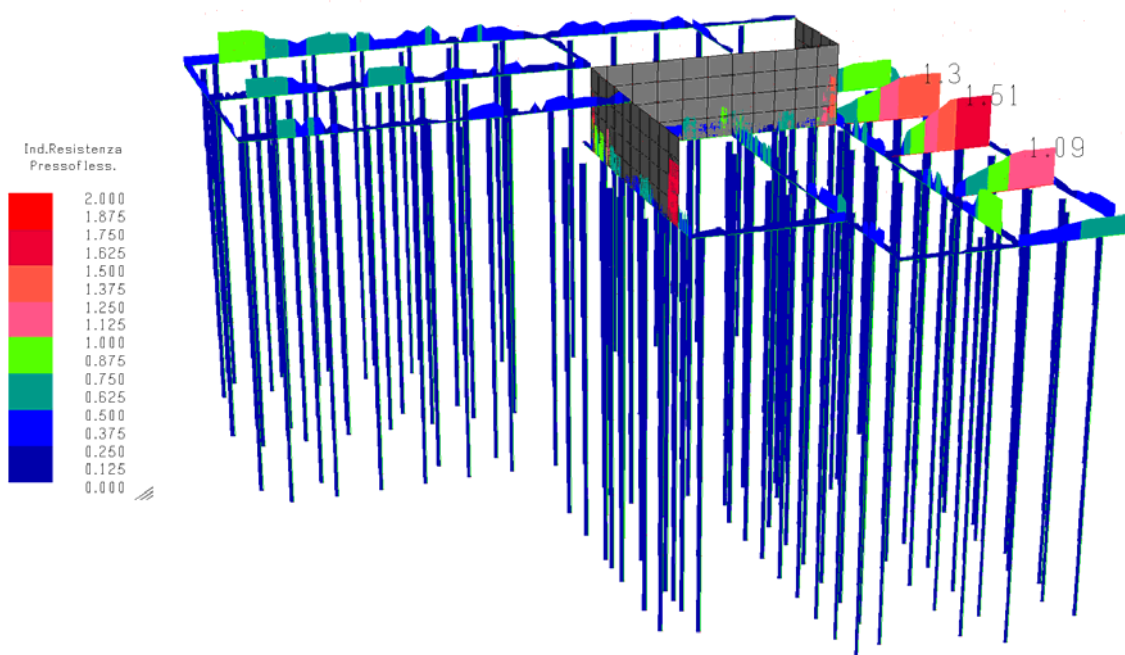
CORPO 2: elementi non verificati per le condizioni statiche slu



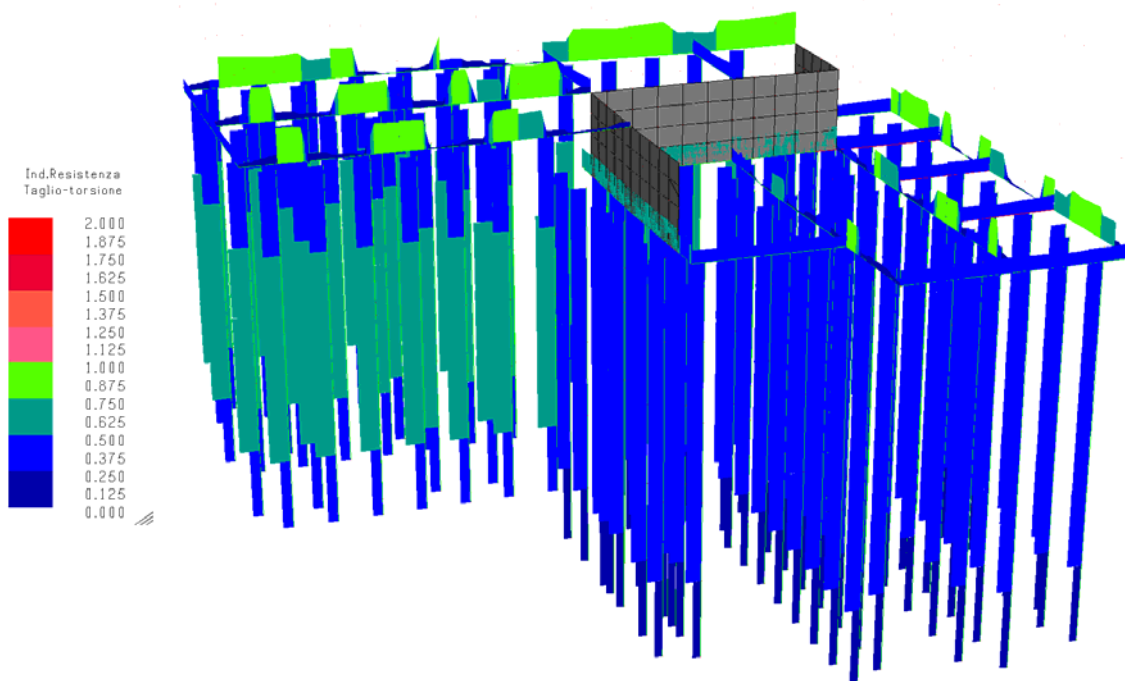
CORPO 2: elementi di dettaglio fondazione non verificati per le condizioni statiche slu



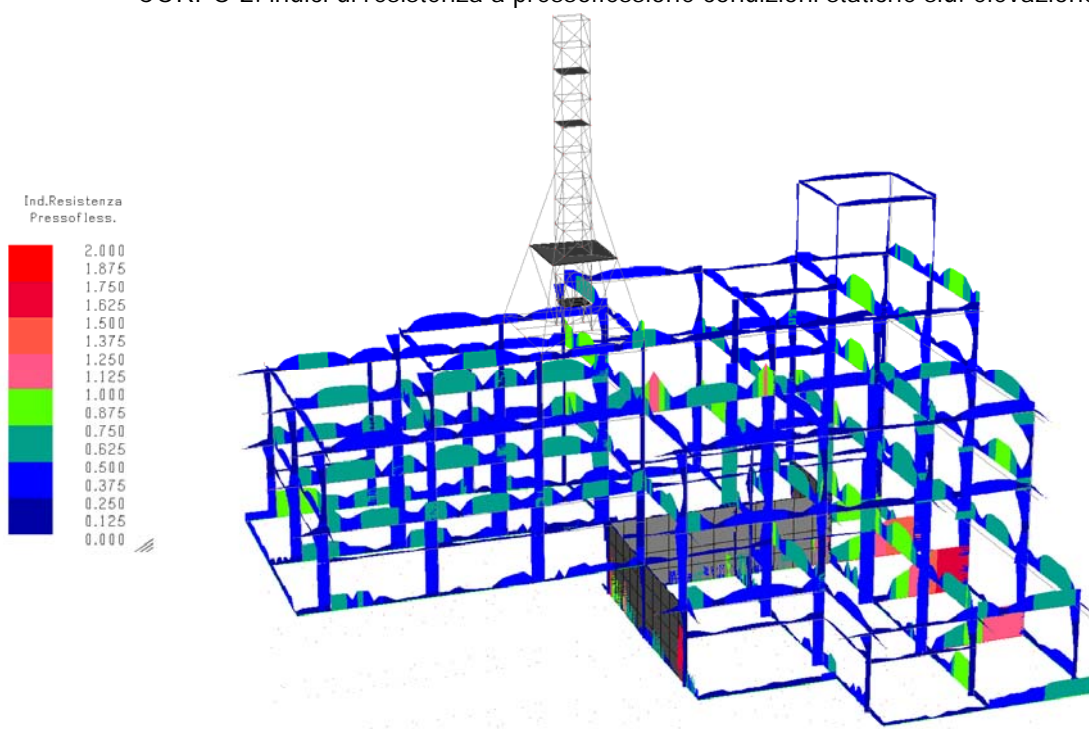
CORPO 2: indici di resistenza a pressoflessione per condizioni statiche sl: fondazione e pali



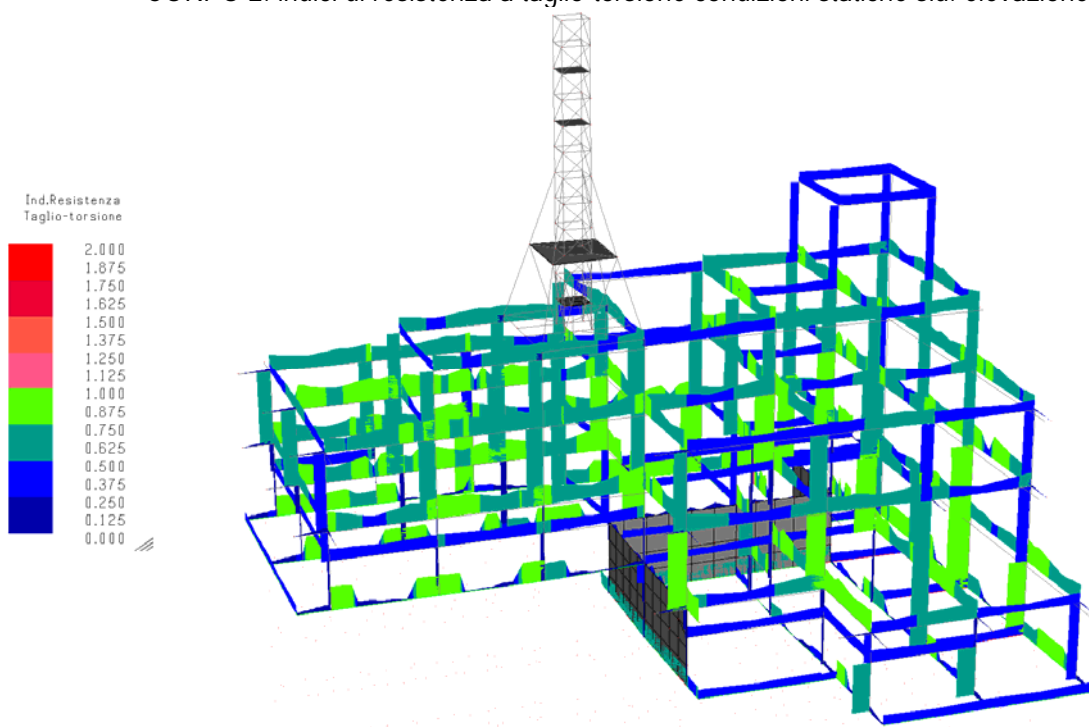
CORPO 2: indici di resistenza a taglio-torsione condizioni statiche sl: fondazione e pali



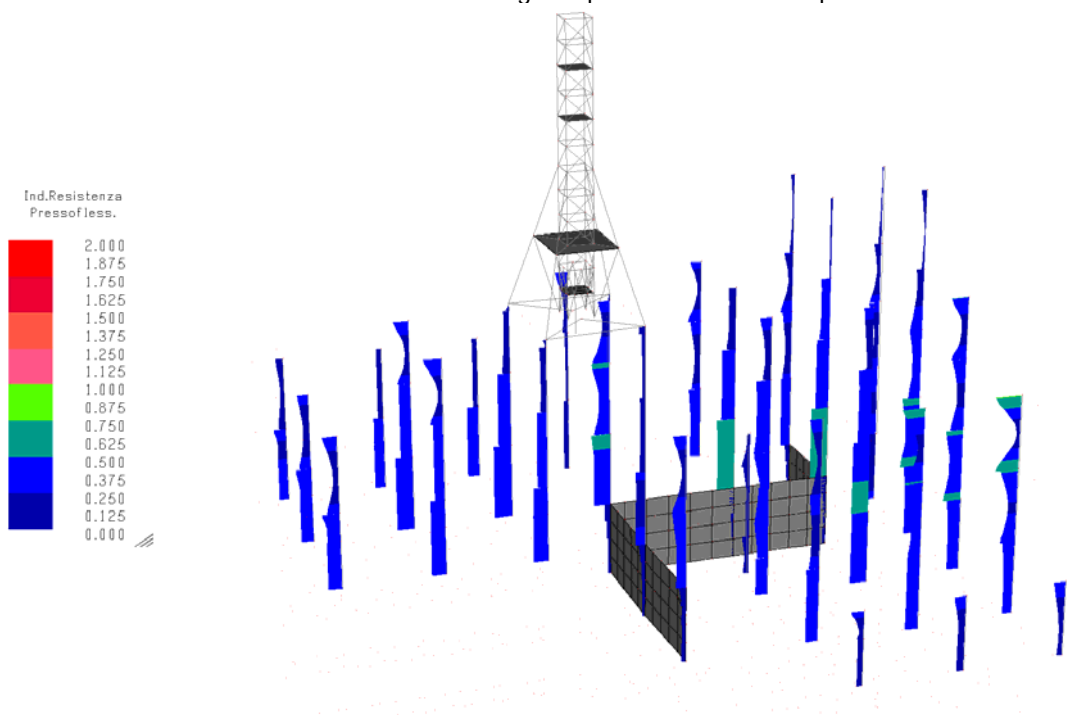
CORPO 2: indici di resistenza a pressoflessione condizioni statiche slu: elevazione



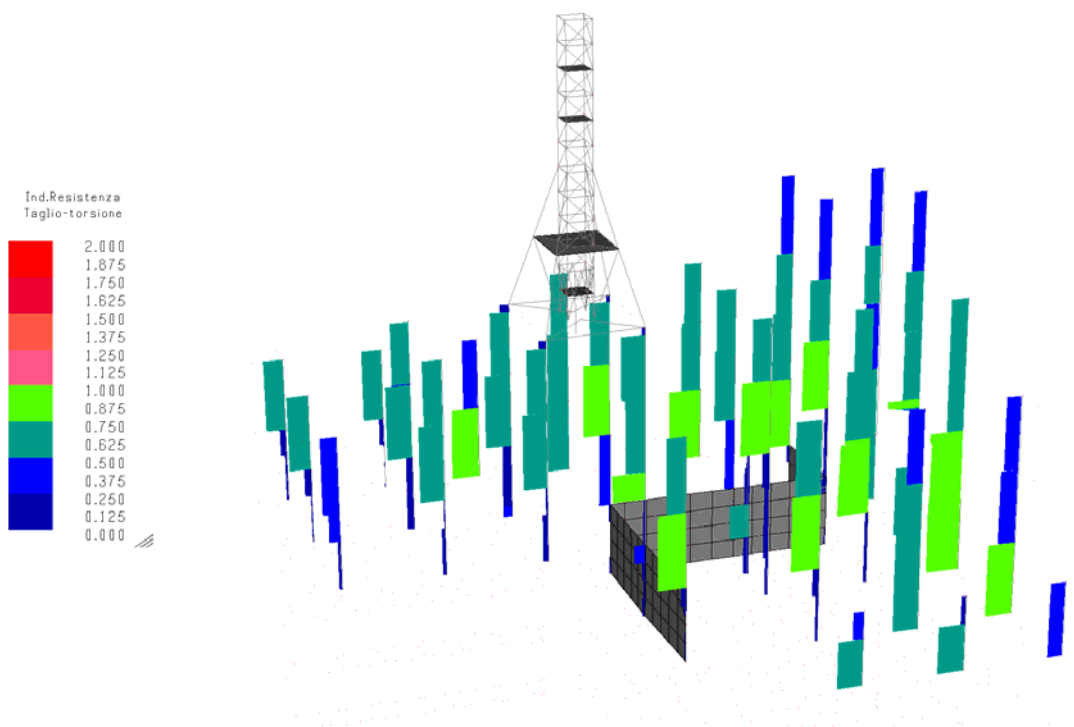
CORPO 2: indici di resistenza a taglio-torsione condizioni statiche slu: elevazione



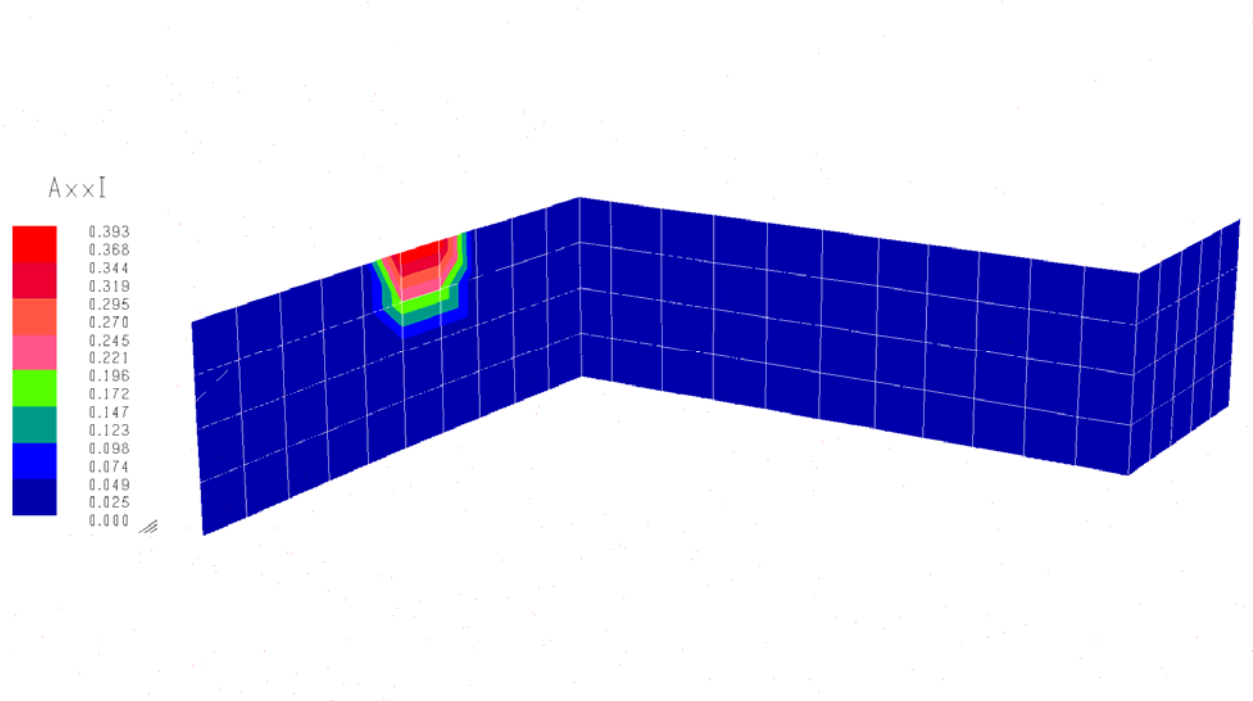
CORPO 2: indici di resistenza di dettaglio a pressoflessione dei pilastri condizioni statiche slu



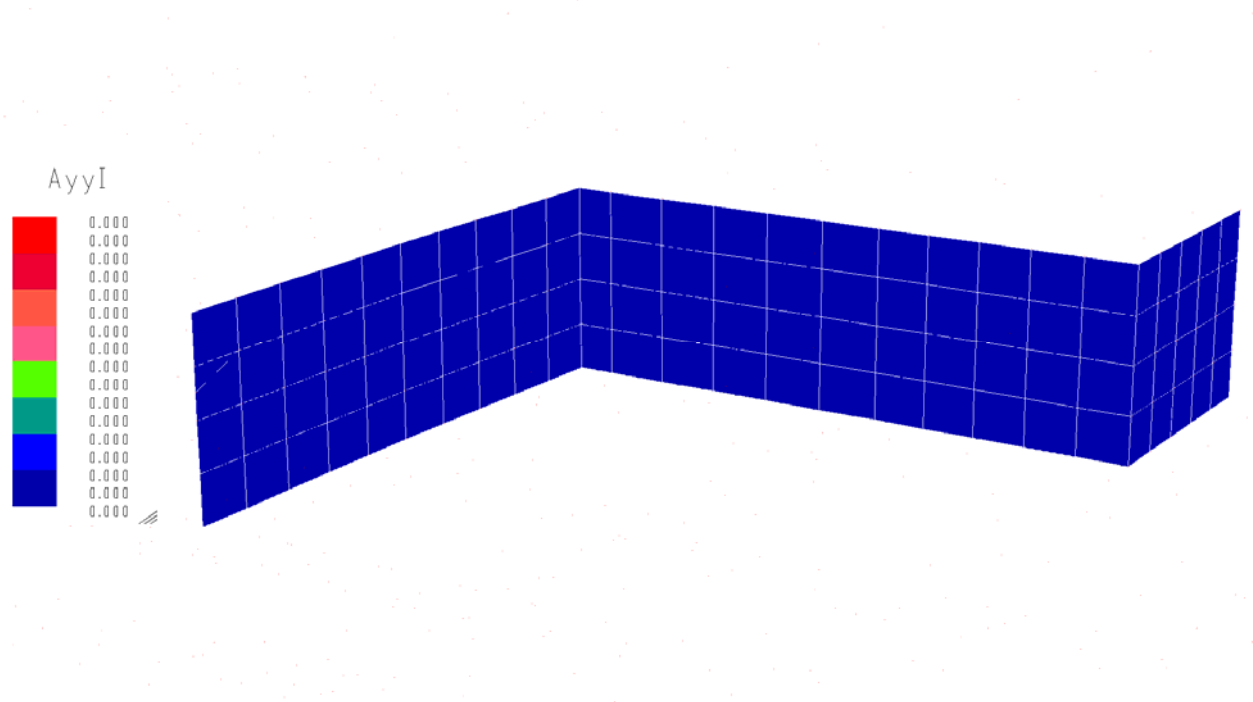
CORPO 2: indici di resistenza di dettaglio a taglio-torsione dei pilastri condizioni statiche slu



CORPO 2: armatura aggiuntiva orizzontale parete c.a. rispetto alle armature esistenti: condizioni statiche slu

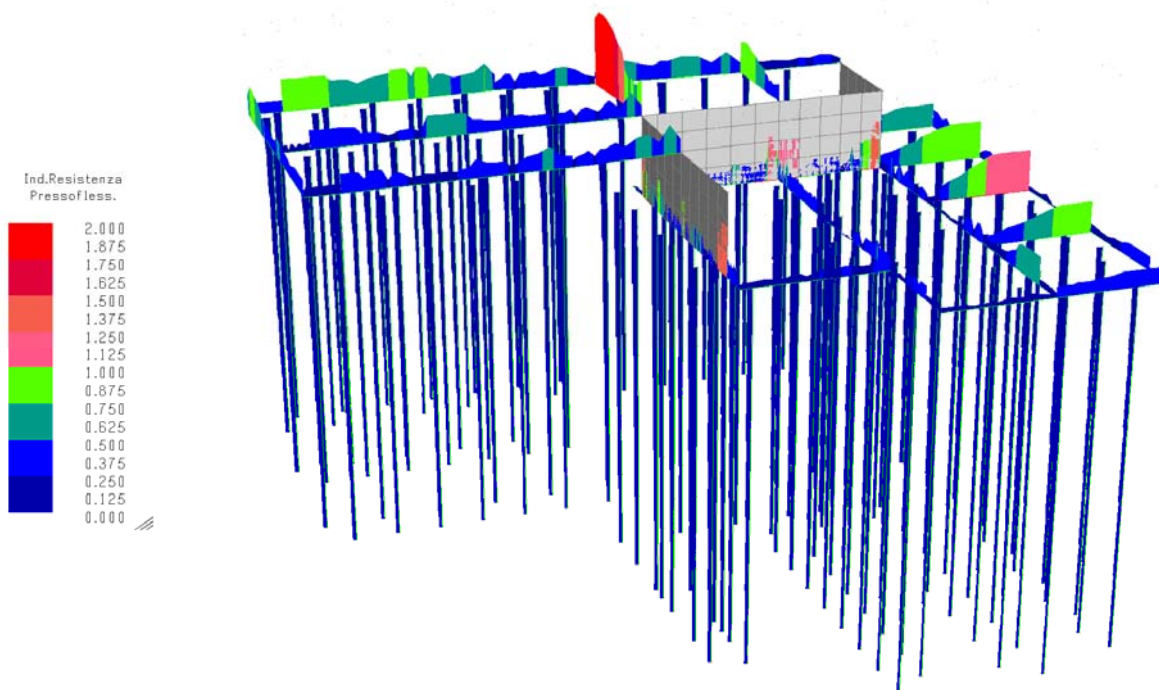


CORPO 2: armatura aggiuntiva verticale parete c.a. rispetto alle armature esistenti: condizioni statiche slu

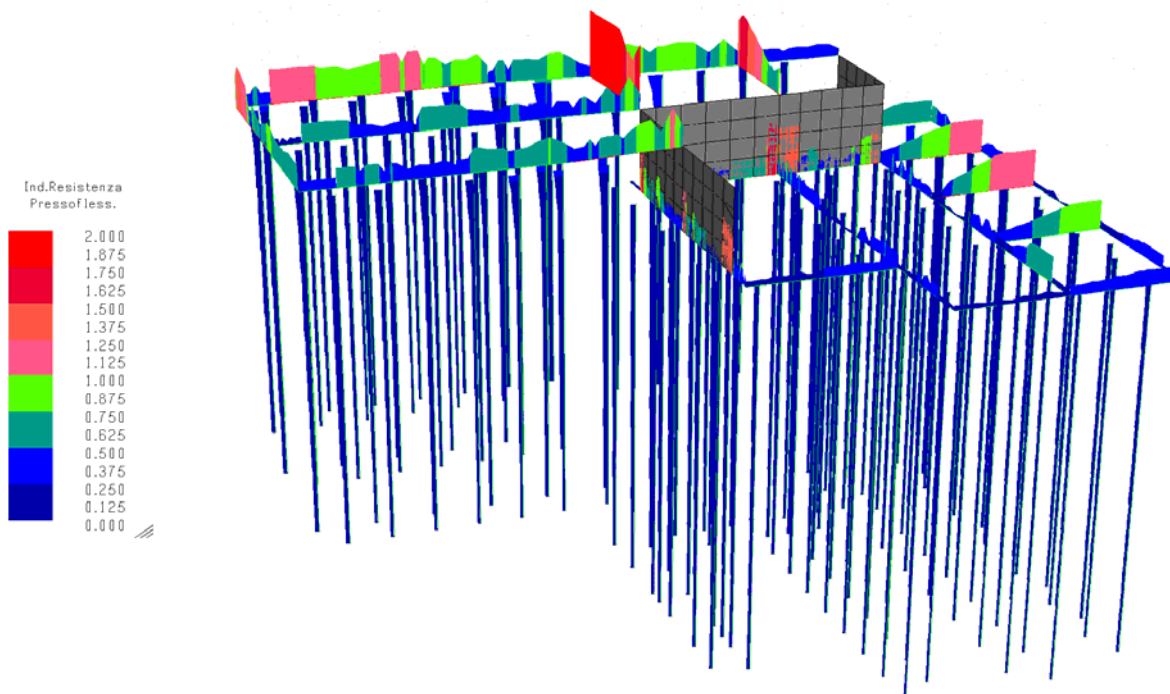




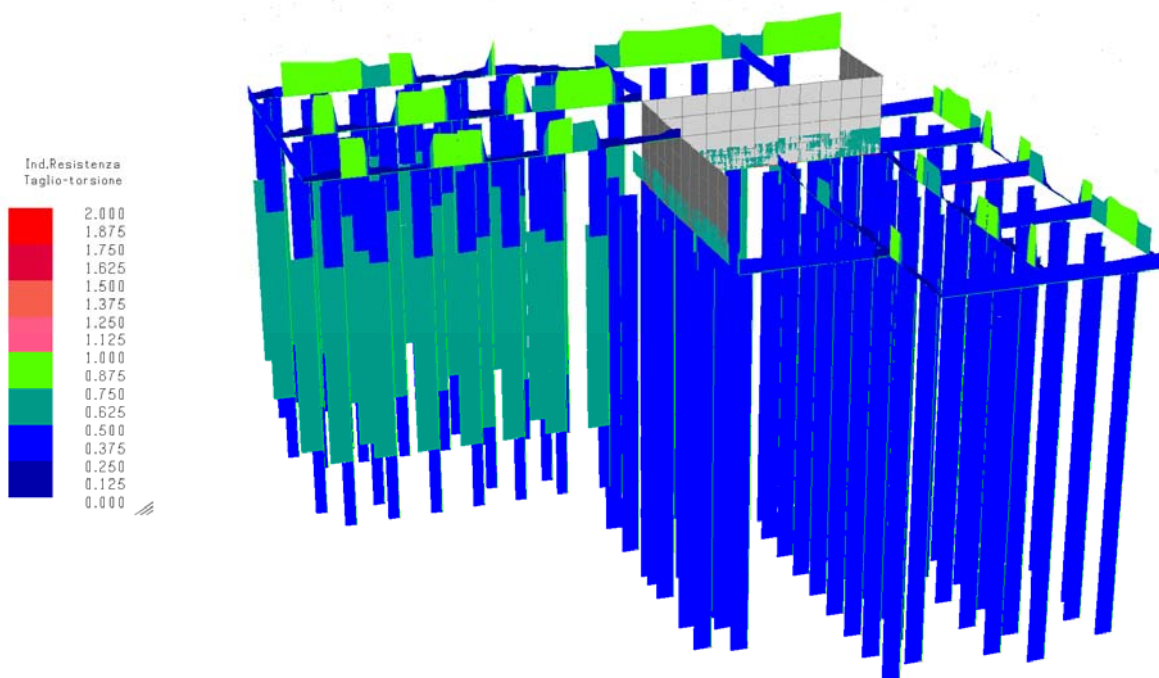
CORPO 2: indici di resistenza slv pressoflessione meccanismi duttili ( $q=2.76$ ) analisi dinamica lineare  
 $T_R$  949 anni: fondazione e pali



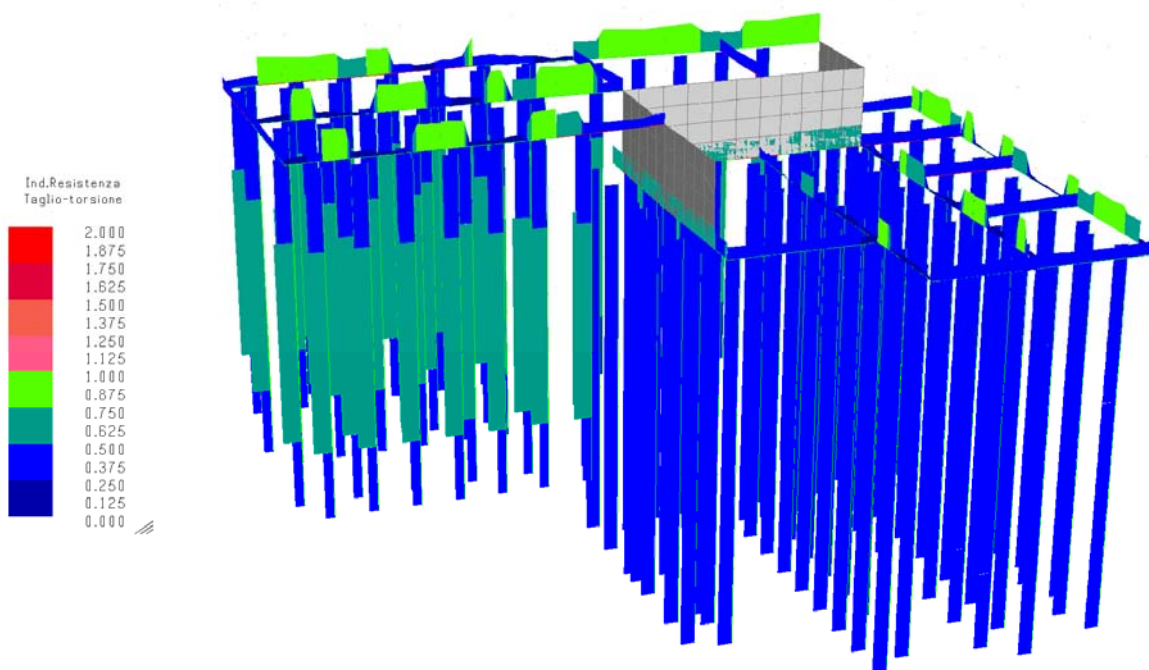
CORPO 2: indici di resistenza slv pressoflessione meccanismi fragili ( $q=1.5$ ) analisi dinamica lineare  
 $T_R$  949 anni: fondazione e pali



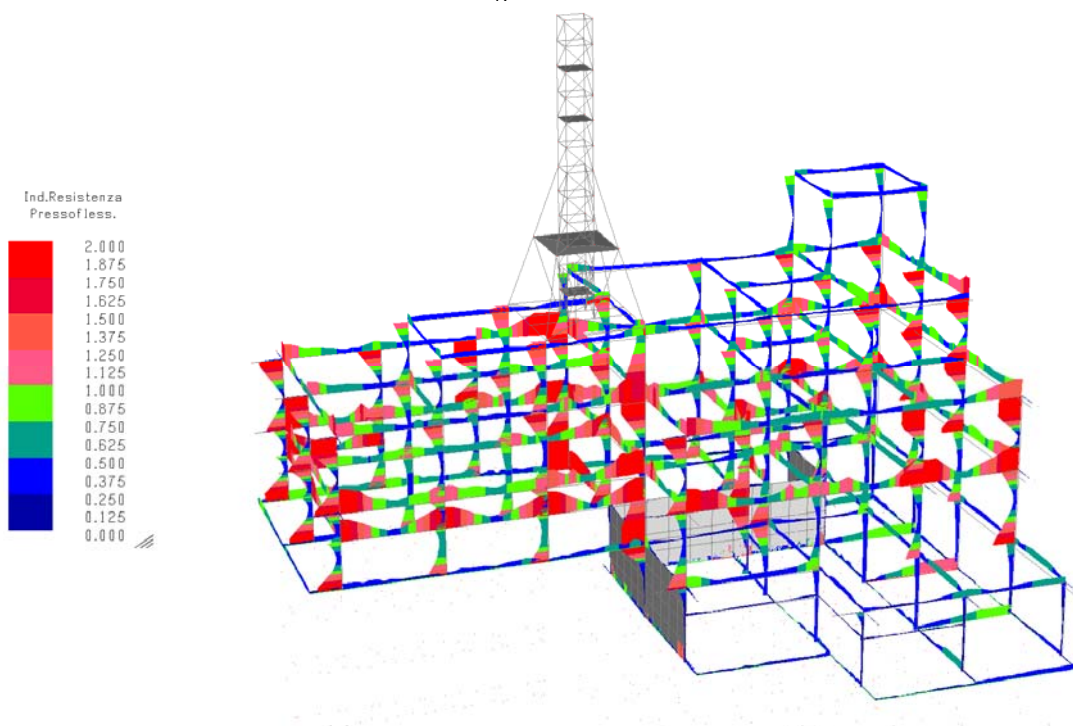
CORPO 2: indici di resistenza slv taglio-torsione meccanismi duttili ( $q=2.76$ ) analisi dinamica lineare  
 $T_R$  949 anni: fondazione e pali



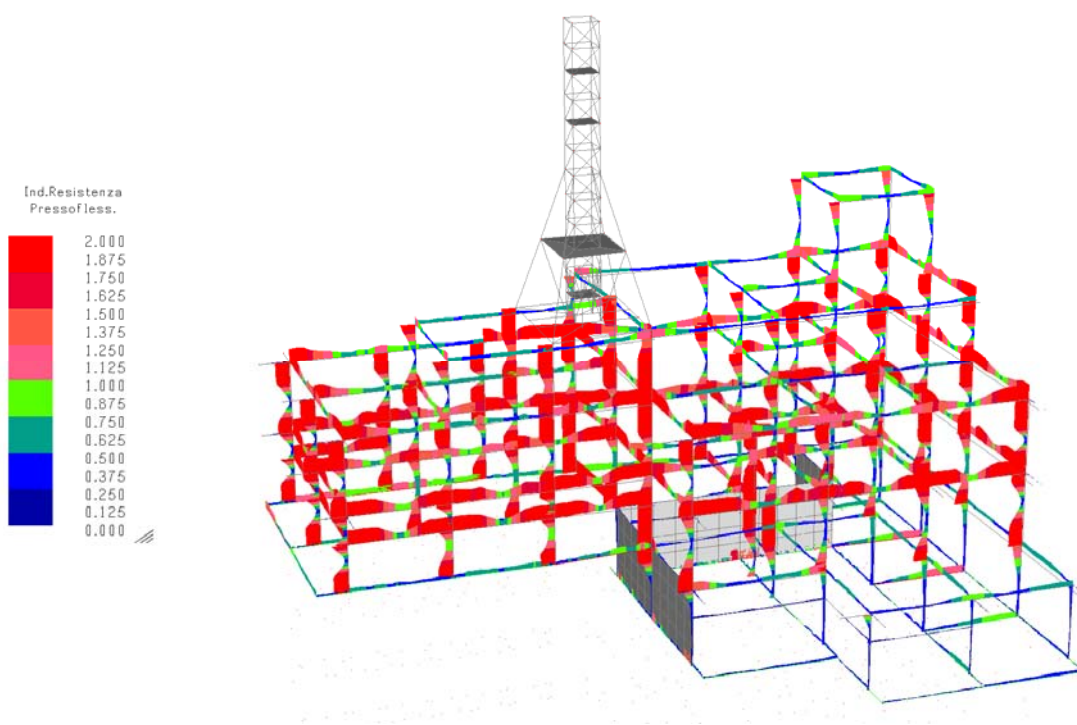
CORPO 2: indici di resistenza slv taglio-torsione meccanismi fragili ( $q=1.5$ ) analisi dinamica lineare  
 $T_R$  949 anni: fondazione e pali



CORPO 2: indici di resistenza slv pressoflessione meccanismi duttili ( $q=2.76$ ) analisi dinamica lineare  
 $T_R$  949 anni: elevazione

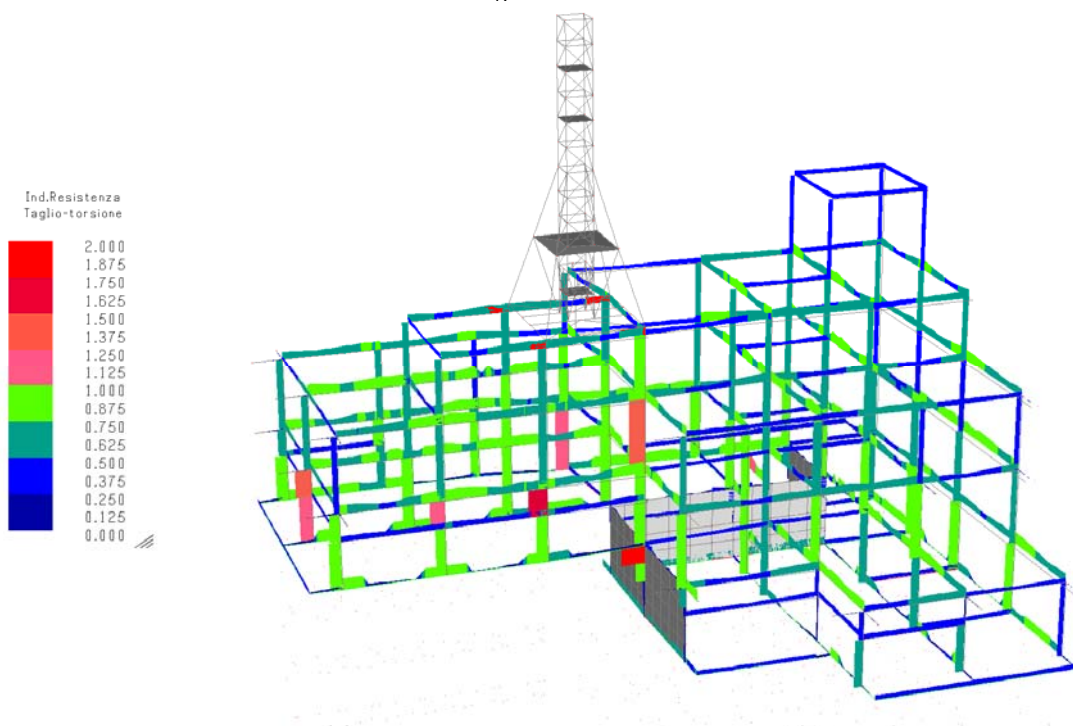


CORPO 2: indici di resistenza slv pressoflessione meccanismi fragili ( $q=1.5$ ) analisi dinamica lineare  
 $T_R$  949 anni: elevazione

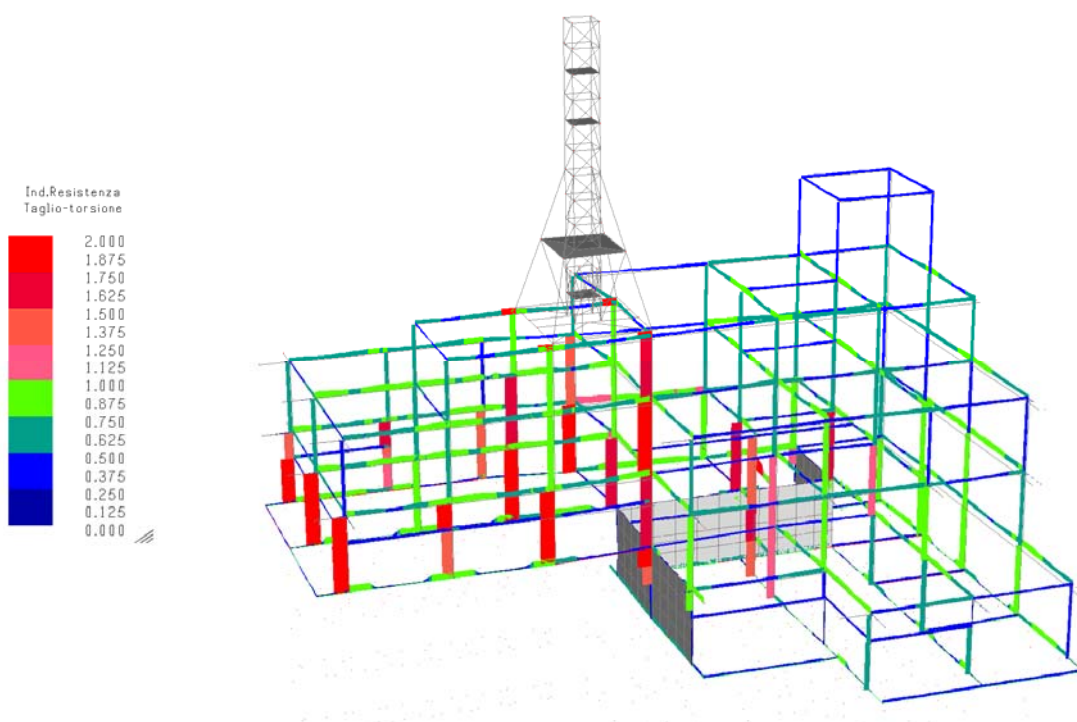




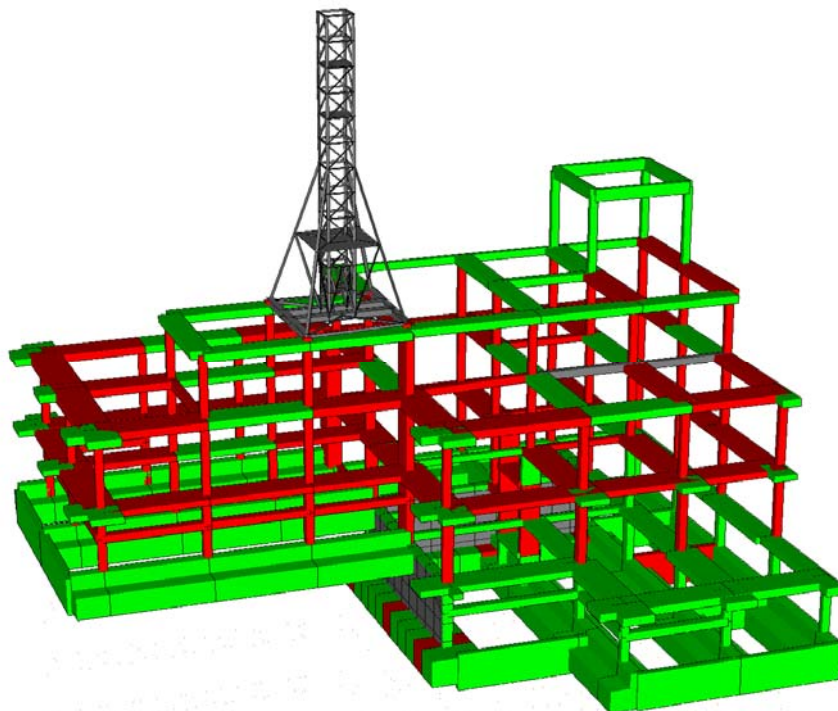
CORPO 2: indici di resistenza slv taglio-torsione meccanismi duttili ( $q=2.76$ ) analisi dinamica lineare  
 $T_R$  949 anni: elevazione



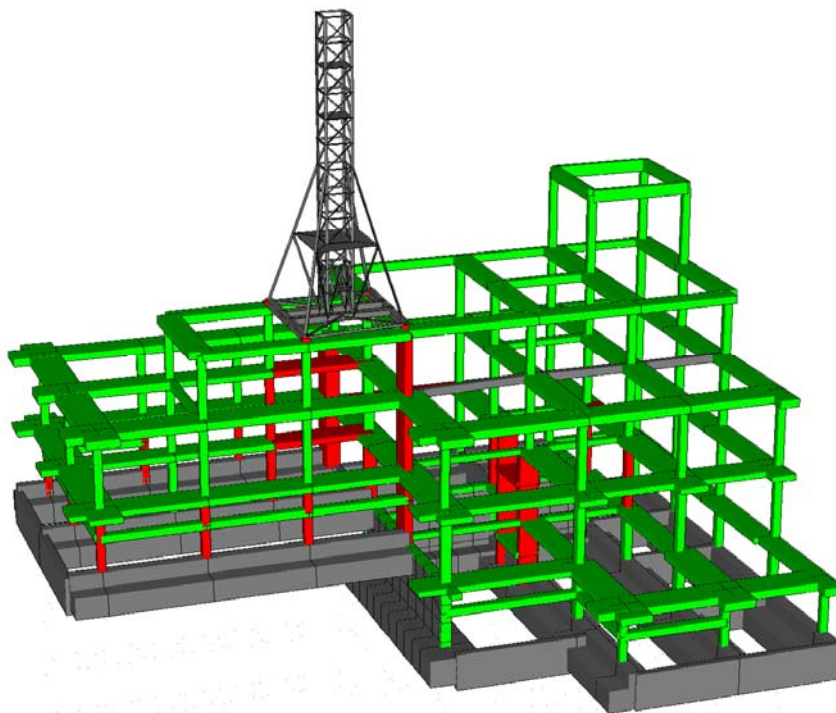
CORPO 2: indici di resistenza slv taglio-torsione meccanismi fragili ( $q=1.5$ ) analisi dinamica lineare  
 $T_R$  949 anni: elevazione



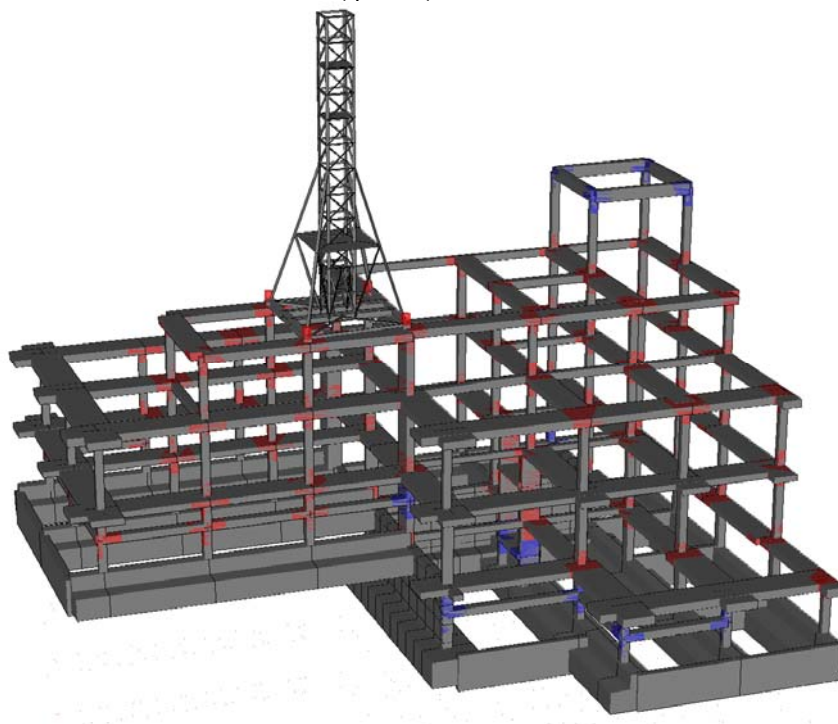
CORPO 2: elementi in rosso non verificati ai meccanismi duttili ( $q=2.76$ ) analisi dinamica lineare  
 $T_R$  949 anni: elevazione



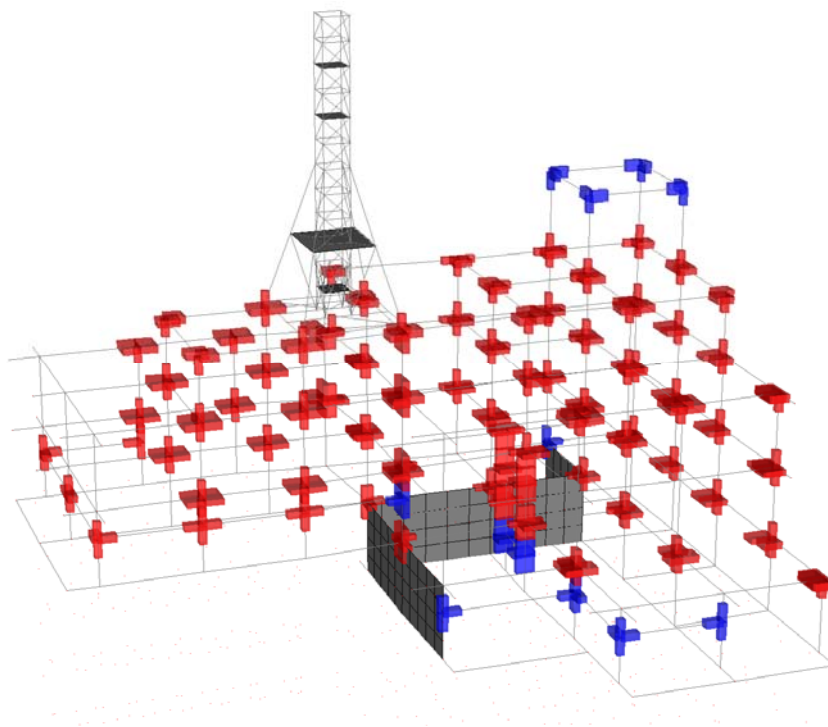
CORPO 2: elementi in rosso non verificati ai meccanismi fragili ( $q=1.5$ ) analisi dinamica lineare  
 $T_R$  949 anni: elevazione



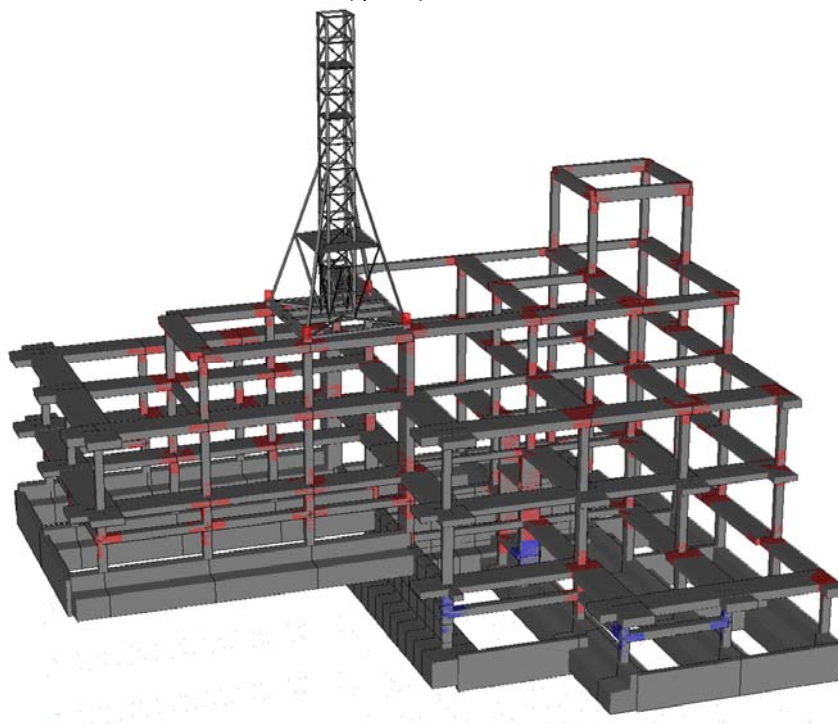
CORPO 2: nodi non verificati in rosso ( $q=2.76$ ) modello tridimensionale  $T_R$  949 anni



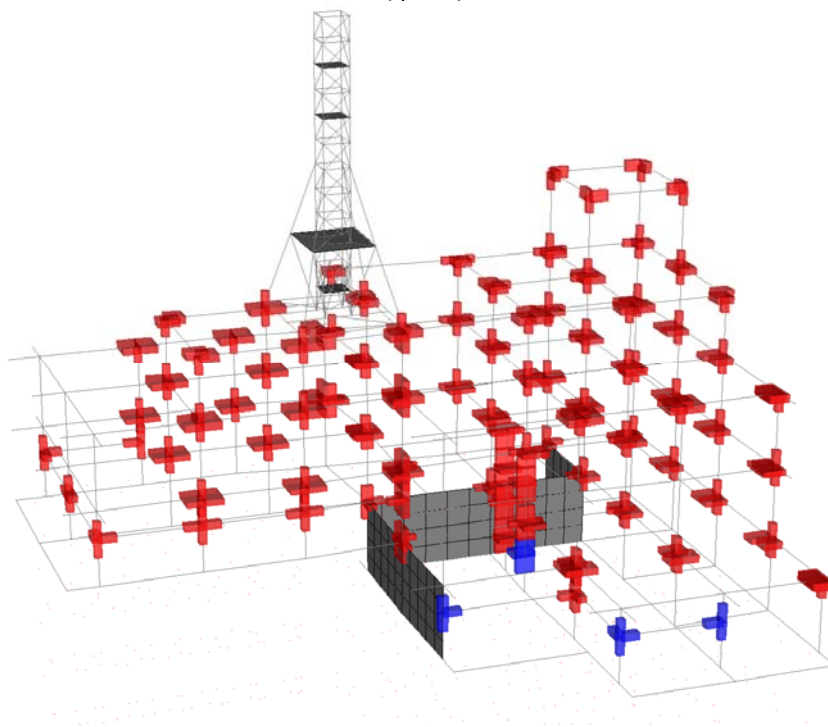
CORPO 2: nodi non verificati in rosso ( $q=2.76$ ) schema unifilare  $T_R$  949 anni



CORPO 2: nodi non verificati in rosso ( $q=1.5$ ) modello tridimensionale  $T_R$  949 anni

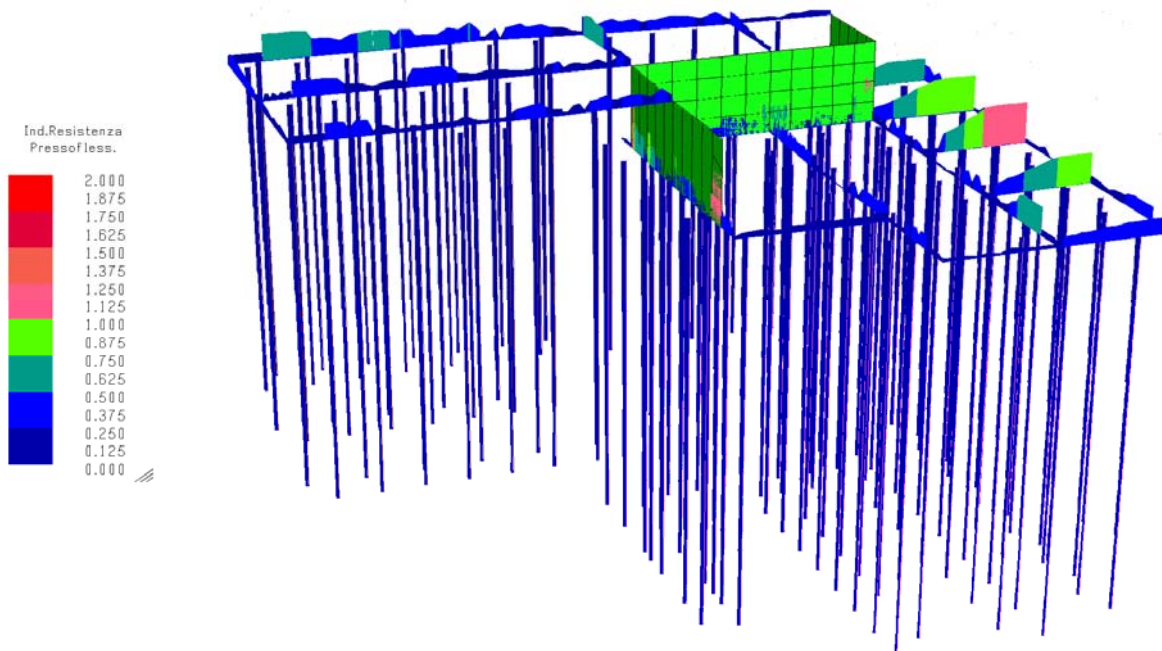


CORPO 2: nodi non verificati in rosso ( $q=1.5$ ) schema unifilare  $T_R$  949 anni

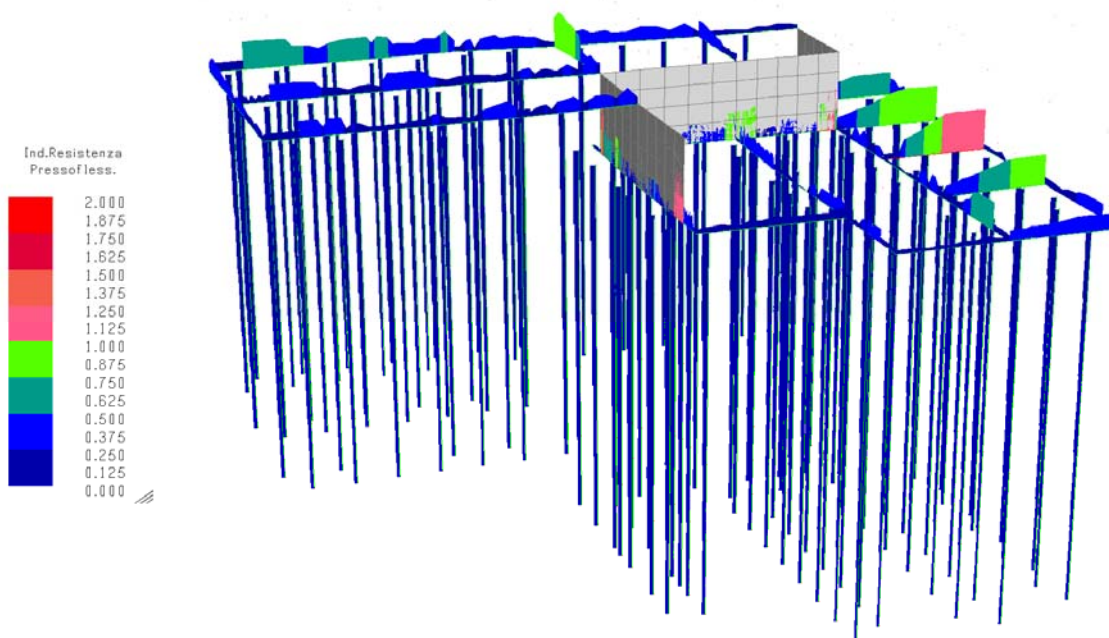




CORPO 2: indici di resistenza slv pressoflessione meccanismi duttili ( $q=2.76$ ) analisi dinamica lineare  
 $T_R$  30 anni: fondazione e pali

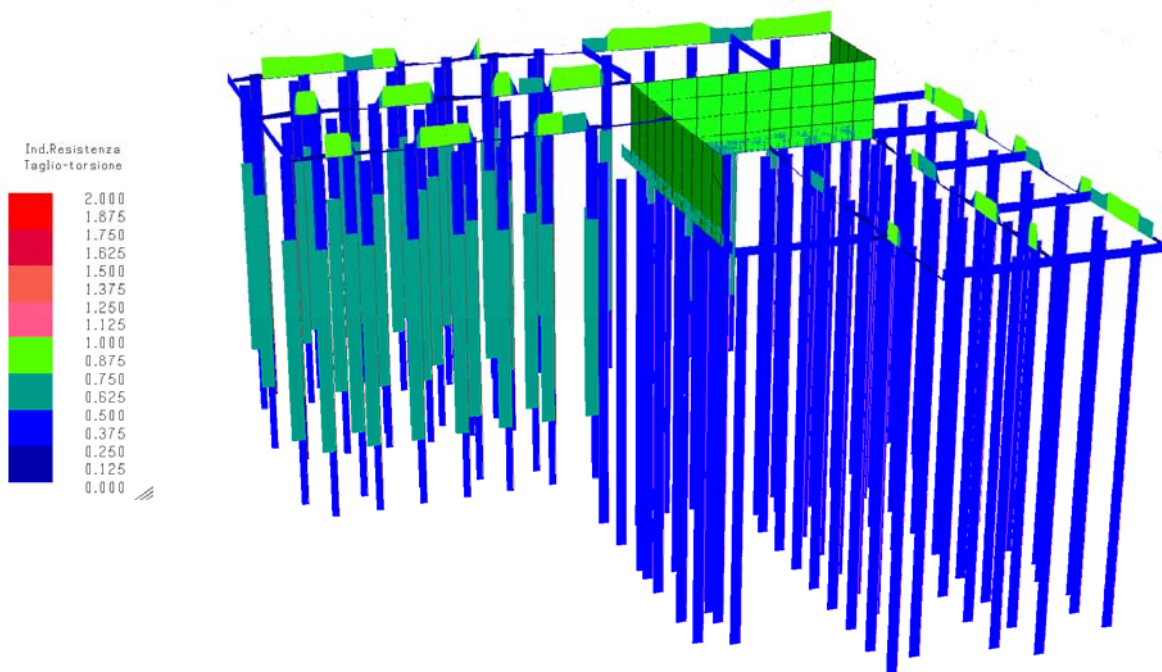


CORPO 2: indici di resistenza slv pressoflessione meccanismi fragili ( $q=1.5$ ) analisi dinamica lineare  
 $T_R$  30 anni: fondazione e pali

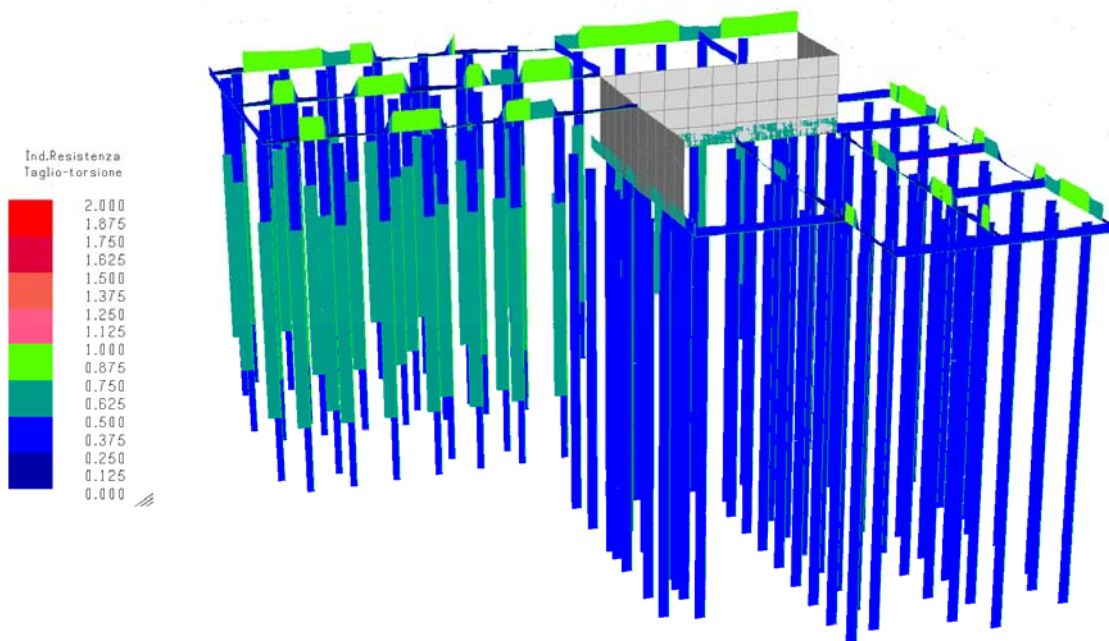




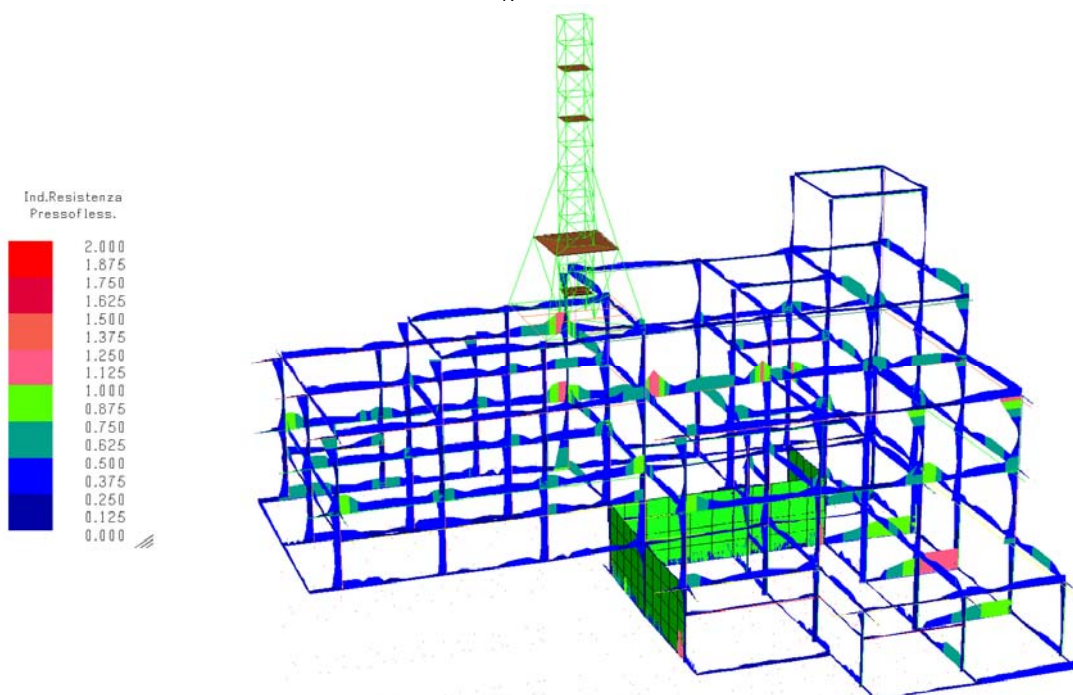
CORPO 2: indici di resistenza slv taglio-torsione meccanismi duttili ( $q=2.76$ ) analisi dinamica lineare  
 $T_R$  30 anni: fondazione e pali



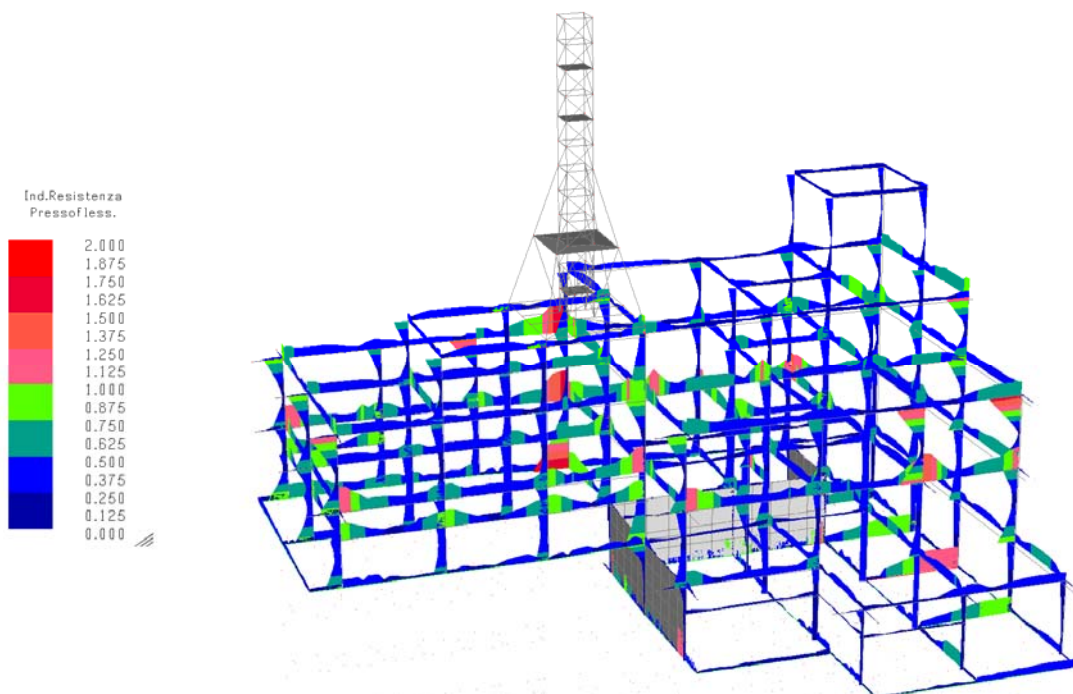
CORPO 2: indici di resistenza slv taglio-torsione meccanismi fragili ( $q=1.5$ ) analisi dinamica lineare  
 $T_R$  30 anni: fondazione e pali



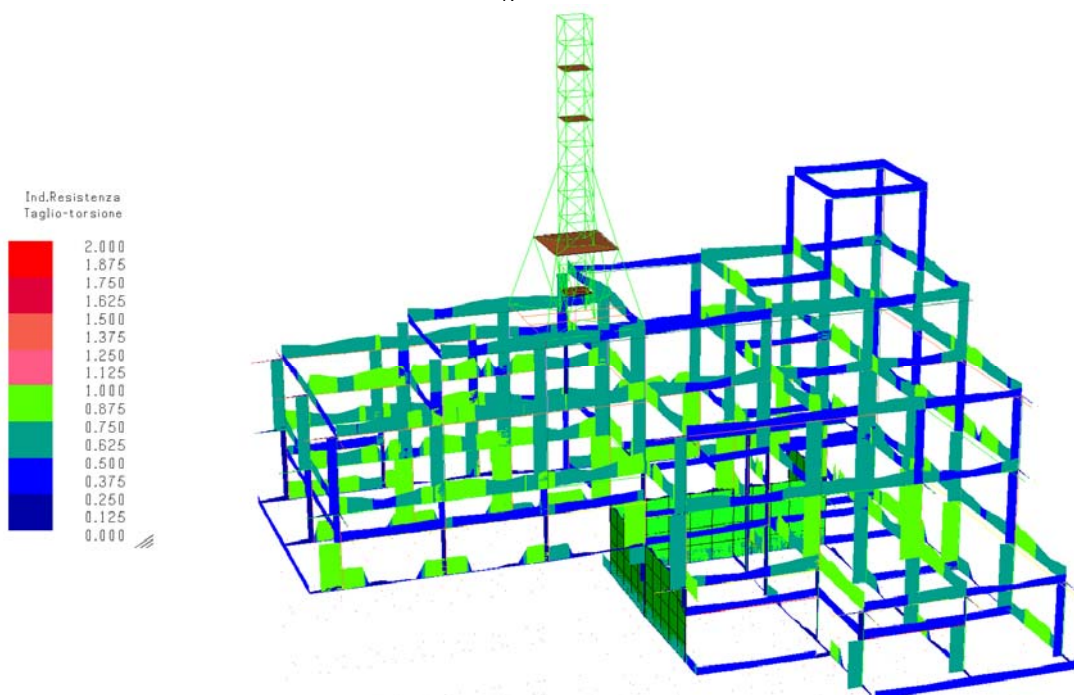
CORPO 2: indici di resistenza slv pressoflessione meccanismi duttili ( $q=2.76$ ) analisi dinamica lineare  
 $T_R$  30 anni: elevazione



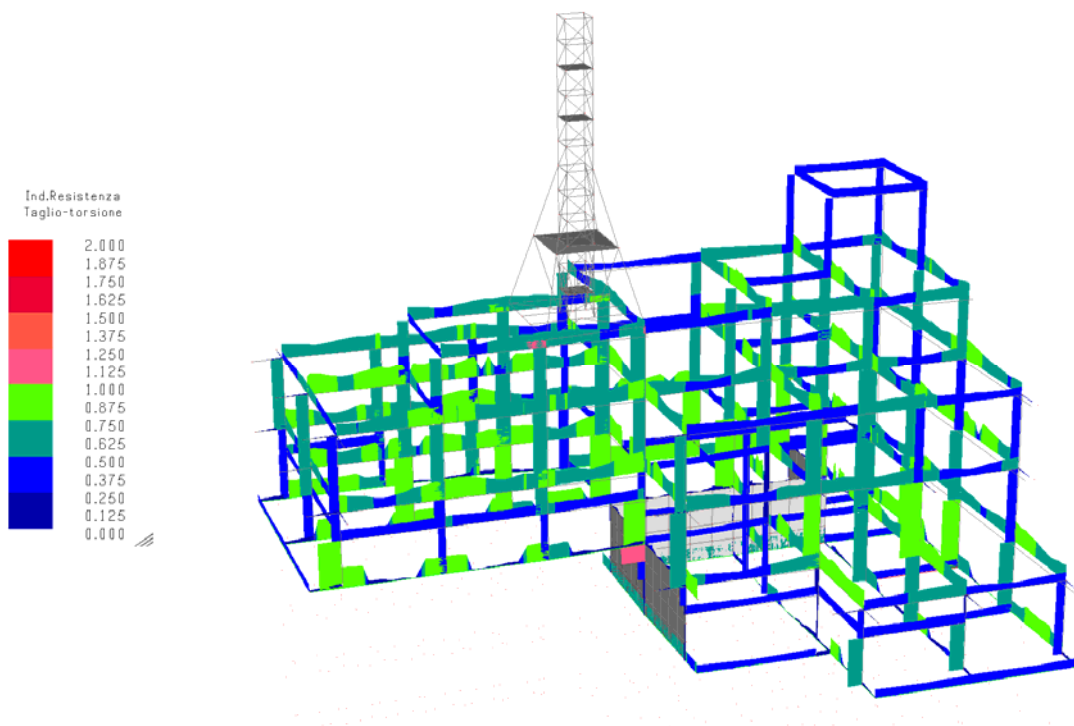
CORPO 2: indici di resistenza slv pressoflessione meccanismi fragili ( $q=1.5$ ) analisi dinamica lineare  
 $T_R$  30 anni: elevazione



CORPO 2: indici di resistenza slv taglio-torsione meccanismi duttili ( $q=2.76$ ) analisi dinamica lineare  
 $T_R$  30 anni: elevazione

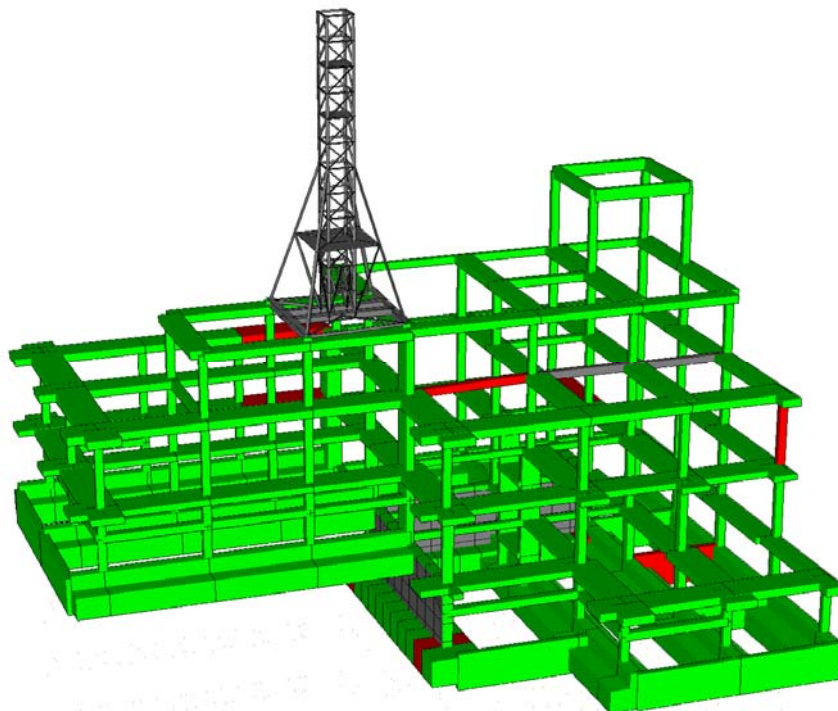


CORPO 2: indici di resistenza slv taglio-torsione meccanismi fragili ( $q=1.5$ ) analisi dinamica lineare  
 $T_R$  30 anni: elevazione

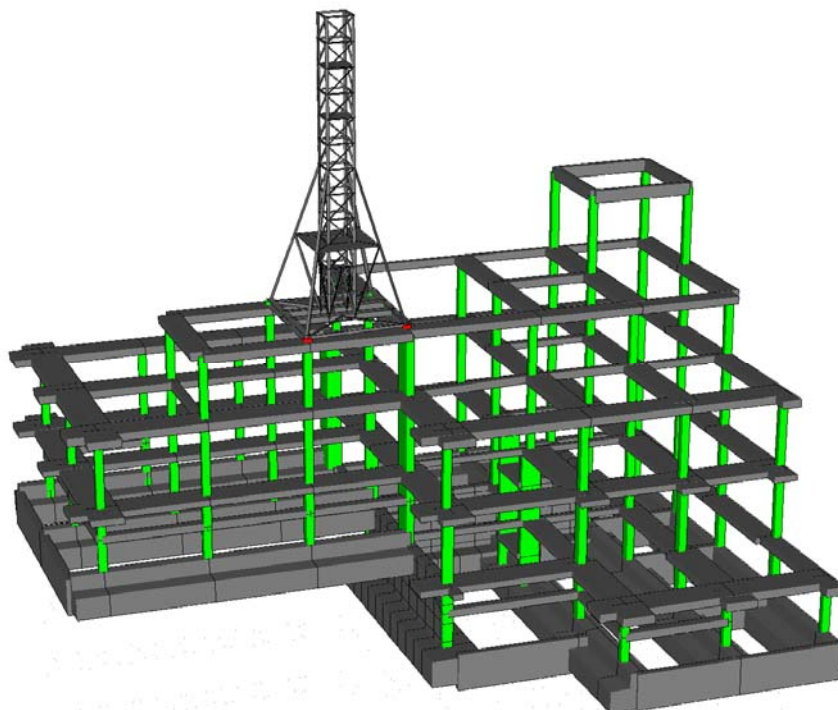




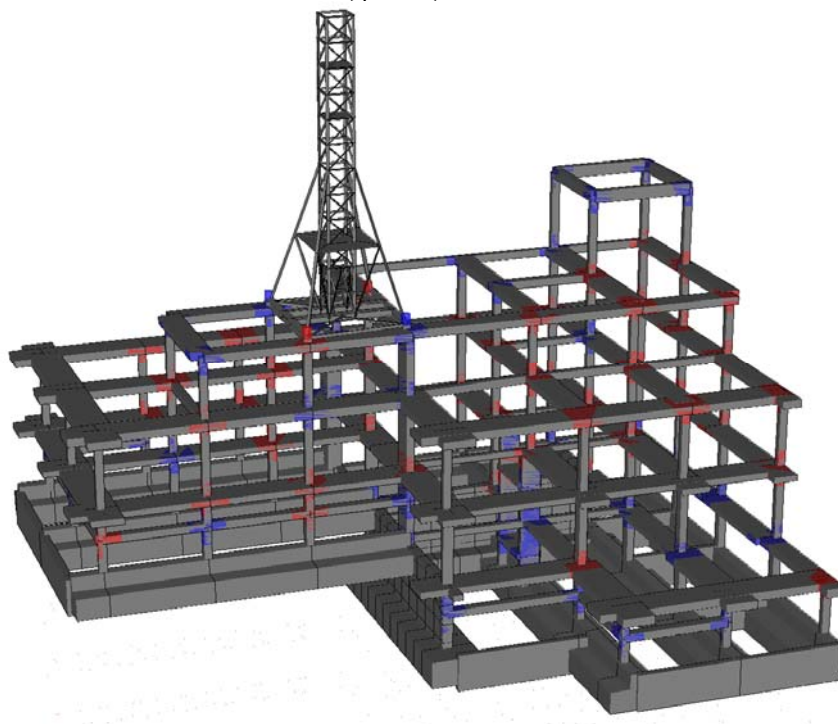
CORPO 2: elementi in rosso non verificati ai meccanismi duttili ( $q=2.76$ ) analisi dinamica lineare  
 $T_R$  30 anni: elevazione



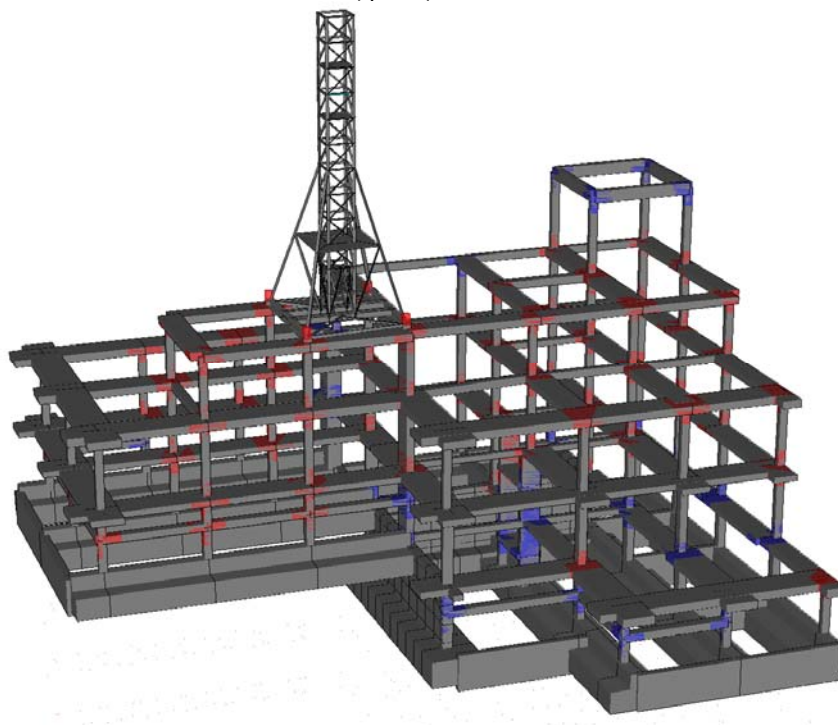
CORPO 2: elementi in rosso non verificati ai meccanismi fragili ( $q=1.5$ ) analisi dinamica lineare  
 $T_R$  30 anni: elevazione



CORPO 2: nodi non verificati in rosso ( $q=2.76$ ) modello tridimensionale  $T_R$  30 anni

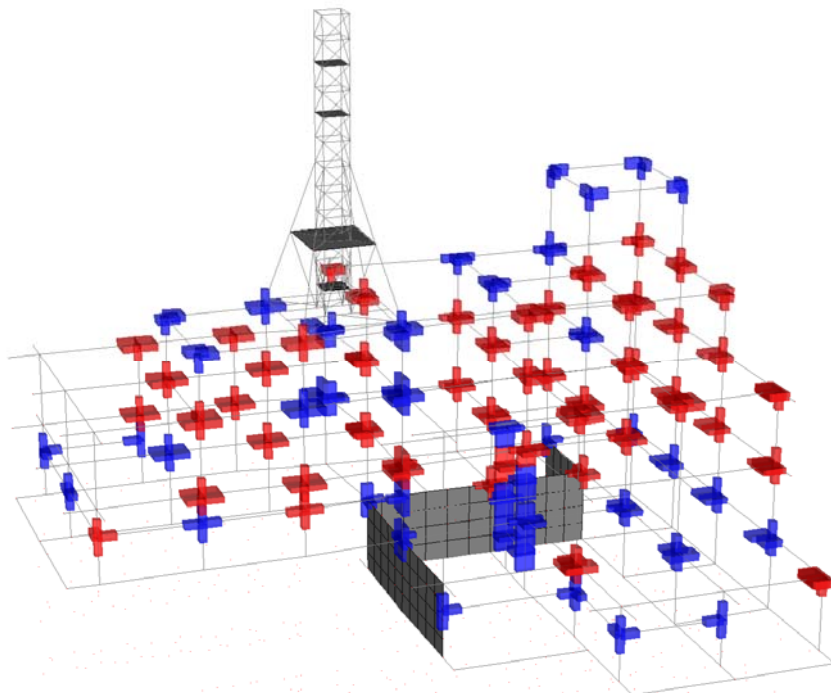


CORPO 2: nodi non verificati in rosso ( $q=1.5$ ) modello tridimensionale  $T_R$  30 anni

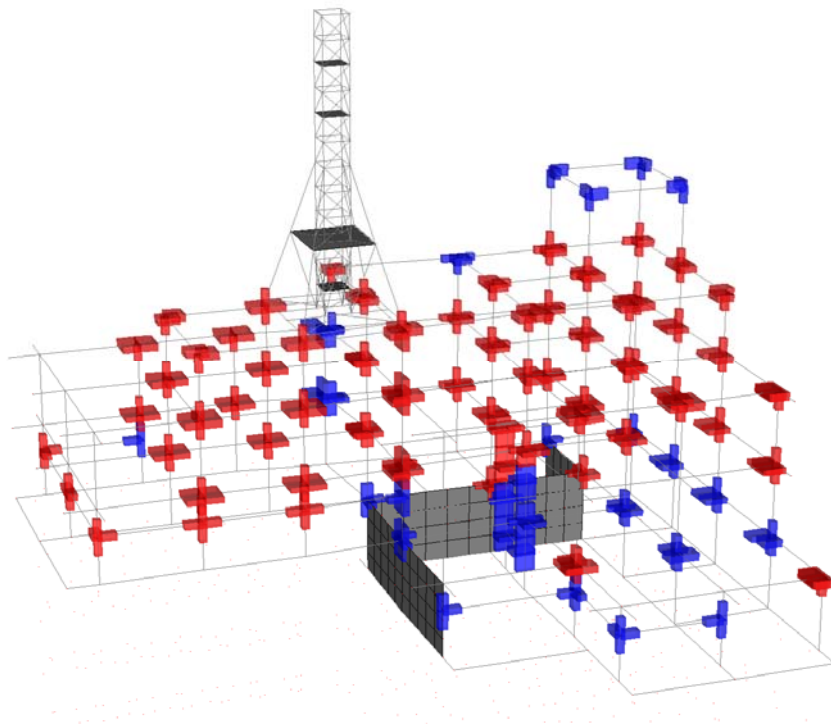




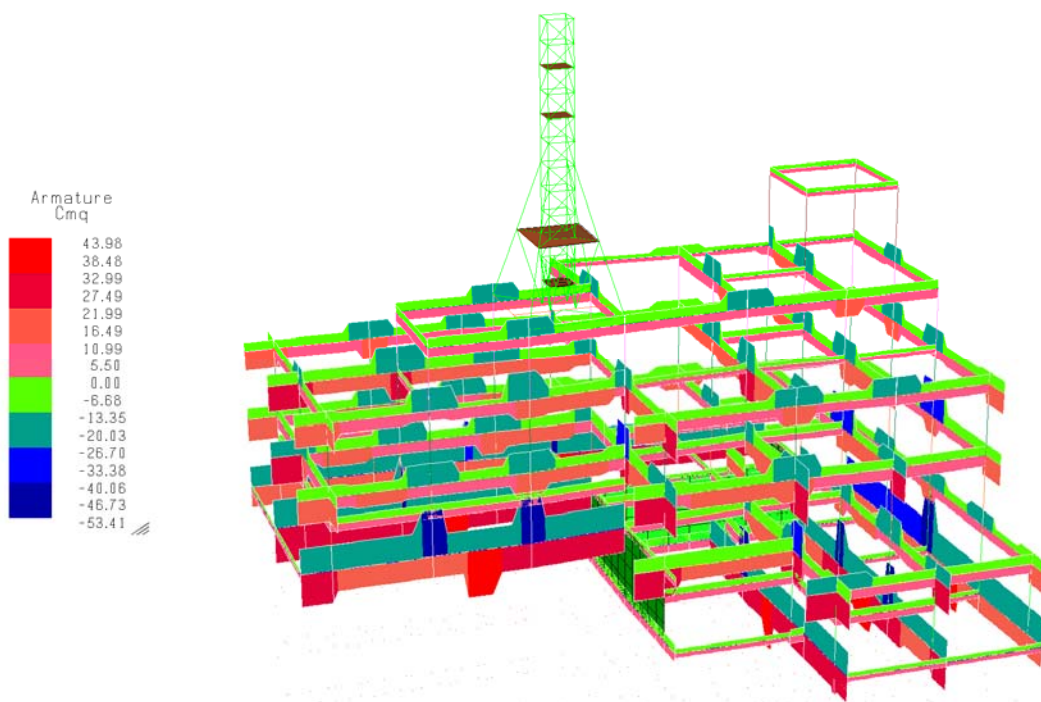
CORPO 2: nodi non verificati in rosso ( $q=2.76$ ) schema unifilare  $T_R$  30 anni



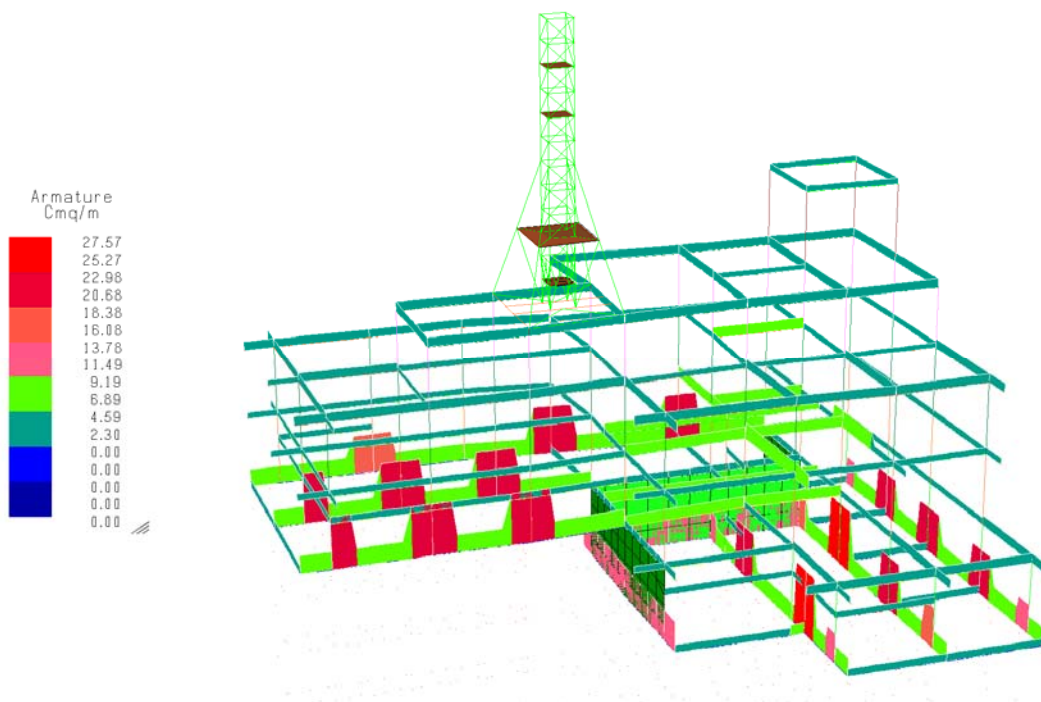
CORPO 2: nodi non verificati in rosso ( $q=1.5$ ) schema unifilare  $T_R$  30 anni



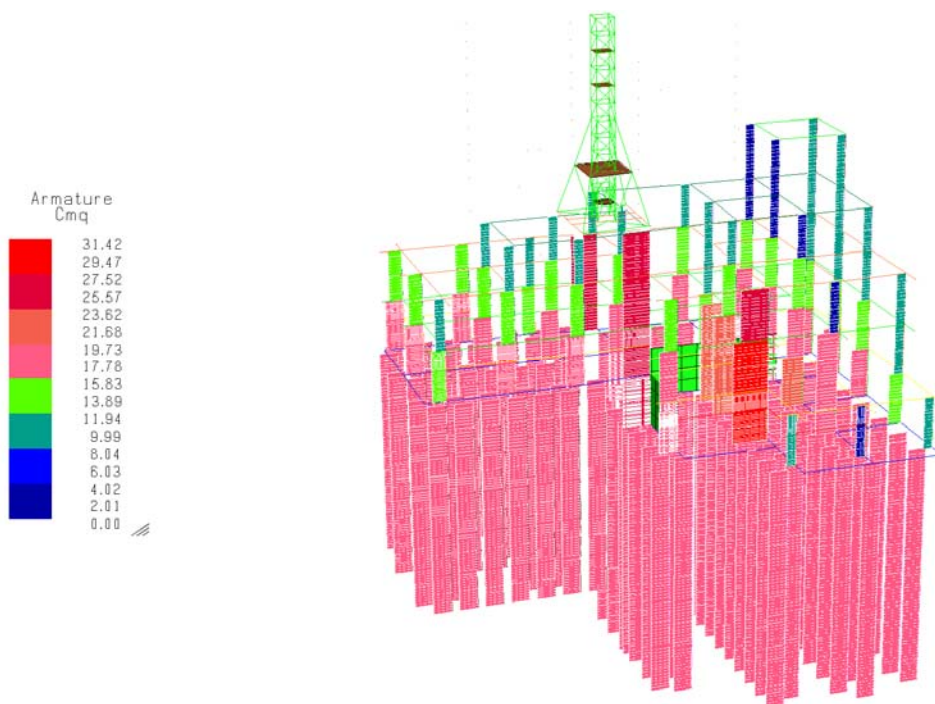
CORPO 2: armatura esistente inferiore e superiore travi in elevazione



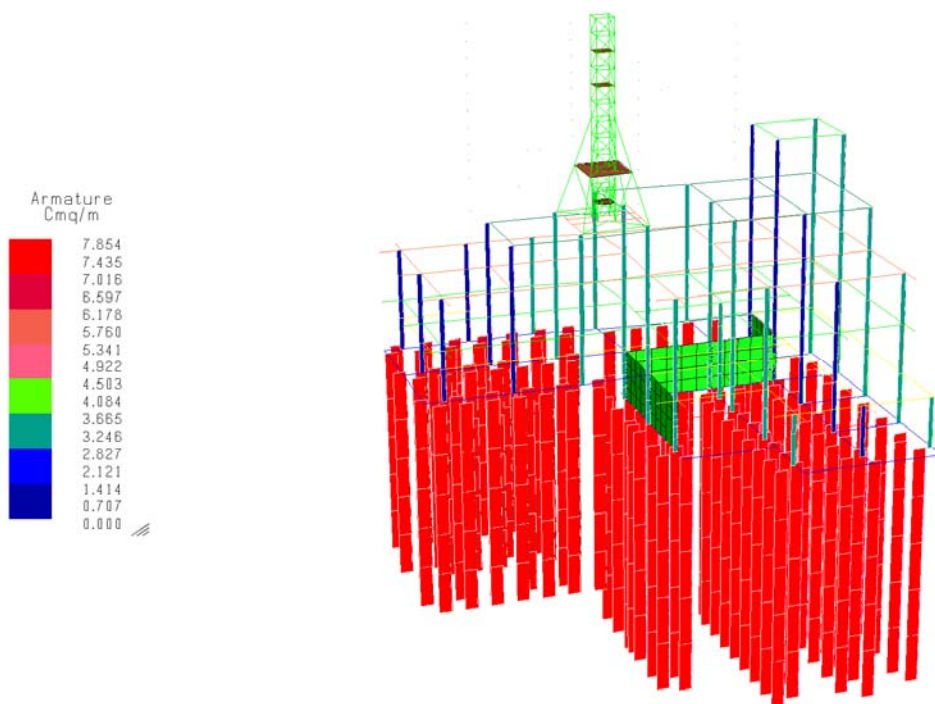
CORPO 2: armatura trasversale esistente travi in elevazione



CORPO 2: armatura longitudinale esistente pilastri e pali



CORPO 2: armatura trasversale esistente pilastri e pali



CORPO 2: valutazione del baricentro delle rigidità e del baricentro delle masse

